

## ФИЗИКА КОНДЕНСИРОВАННОГО СОСТОЯНИЯ ВЕЩЕСТВА

### Прыжковая проводимость в пленочном поликристаллическом алмазе

П. Г. Копылов<sup>a</sup>, А. М. Лотонов<sup>b</sup>, И. А. Аполонская, А. Н. Образцов

*Московский государственный университет имени М. В. Ломоносова, физический факультет,  
кафедра физики полимеров и кристаллов. Россия, 119991, Москва, Ленинские горы, д. 1, стр. 2.  
E-mail: <sup>a</sup>kopylov@polly.phys.msu.ru, <sup>b</sup>lotonov@polly.phys.msu.ru*

В работе представлены результаты экспериментального исследования электропроводности поликристаллической алмазной пленки с помощью метода диэлектрической спектроскопии. Исследованная алмазная пленка толщиной около 200 мкм была получена плазмохимическим осаждением, время роста составило 180 ч. Обнаружено, что в частотной зависимости проводимости алмазной пленки имеются два явно выраженных локальных максимума. Также обнаружено, что частоты, соответствующие этим максимумам, зависят от температуры. На основании полученных данных сделано предположение о том, что электропроводность в поликристаллическом пленочном алмазе осуществляется в соответствии с прыжковым механизмом. При этом в проводимости принимают участие два типа электрически активных центров, характеризуемых различными энергиями термической активации и временем релаксации.

PACS: 73.50.Gr.

**Ключевые слова:** поликристаллический алмаз, плазмохимическое осаждение, диэлектрическая спектроскопия.

Статья поступила 19.03.2008, подписана в печать 12.11.2008.

#### Введение

Благодаря своим уникальным химическим, термо- и электрофизическим, механическим и другим свойствам алмаз является привлекательным материалом для высокочастотной и высокотемпературной электроники [1]. Однако использование для этих целей природных или синтетических монокристаллов алмаза, а также эпитаксиальных алмазных пленок ограничено их высокой стоимостью. В ряде случаев приемлемыми для использования в электронных приборах оказываются поликристаллические алмазные пленки (ПАП). В отличие от монокристаллов и эпитаксиальных пленок ПАП могут быть получены относительно простыми и хорошо освоенными в настоящее время методами газофазного химического осаждения (см., напр., [2, 3]). В зависимости от характеристик поликристаллической структуры ПАП их свойства могут существенно изменяться. Это обстоятельство требует проведения исследований, направленных на выявление особенностей физических свойств ПАП и на изучение определяющих их механизмов. Особый интерес к изучению ПАП обусловлен возможностью напыления таких пленок большой площади с высокой степенью однородности по своим электрическим свойствам [1].

Одним из наиболее информативных методов, применяемых для исследования электропроводности материалов, является метод диэлектрической спектроскопии. В ряде работ представлены результаты исследования этим методом алмазных пленок (см., напр., [4–7] и цитируемые в них публикации). Как правило, в таких исследованиях материал ПАП рассматривается как электрически однородный [7], однако в ряде работ отмечается, что существенную роль имеет гетерогенность структуры пленки. Эта гетерогенность обусловлена тем, что в процессе формирования алмазной пленки между составляющими ее кристаллитами алмаза при их сращивании образуются области, состоящие из разупорядоченного графитоподобного материала. Более высокая электропроводность материала межзеренных границ ведет к формированию

высокой плотности электрически активных дефектов. В пленках, получаемых осаждением из газовой фазы, кристаллиты вытянуты в направлении роста (т.е. перпендикулярно поверхности подложки), что способствует образованию переколяционных токопроводящих путей, проходящих по границам зерен. На основании указанных свойств границ зерен в ряде работ делается вывод о том, что электропроводность ПАП в основном определяется именно границами зерен (см., напр., [8]). Следует отметить, что в некоторых работах механизм электропроводности ПАП рассматривается как суперпозиция процессов переноса заряда по границам зерен и переноса заряда непосредственно через кристаллиты алмаза, каждый из которых является доминирующим в определенном температурном и частотном диапазоне [9–11]. Большинство исследователей сходится на том, что основным механизмом переноса заряда в обоих компонентах пленки является прыжковая проводимость [4–13]. Этот вывод очевиден в случае границ зерен, поскольку прыжковая проводимость является основным механизмом проводимости в средах с низкой упорядоченностью. В случае кристаллитов алмаза возможность прыжковой проводимости обеспечивается существованием дефектов в кристаллической структуре и обусловленных ими дополнительных электронных энергетических уровняй.

Важнейшими параметрами, определяющими механизм прыжковой проводимости, являются энергии активации соответствующих уровней и частотная зависимость проводимости. Для получения информации об этих параметрах в настоящей работе были исследованы частотные и температурные зависимости комплексной диэлектрической проницаемости ПАП.

#### 1. Эксперимент

Исследования комплексной диэлектрической проницаемости ПАП проводились с помощью анализатора импеданса фирмы Novocontrol Technologies. В процессе измерений образец ПАП зажимался между двумя золо-

тыми электродами, площадь которых была меньше площади образца. К электродам прикладывалось переменное напряжение с амплитудой 1 В. Частота напряжения изменялась в пределах  $10^{-1}$ – $10^7$  Гц. Была проведена серия подобных измерений при различных температурах в диапазоне 273–423 К. Температура контролировалась посредством подачи в измерительную капсулу азота, имеющего необходимую температуру. Также подача азота обеспечивала создание инертной атмосферы.

Измерение силы тока, протекающего через конденсатор, образованный электродами, дает информацию о проводимости вещества, находящегося между его обкладками. Фазовый сдвиг тока относительно напряжения позволяет определить величину действительной части его комплексной диэлектрической проницаемости. Мнимая часть комплексной проницаемости определяется электропроводностью вещества  $\sigma$  и частотой  $\omega$ :  $\epsilon''(\omega) = i \frac{4\pi}{\omega} \sigma(\omega)$  [14]. Анализ частотных зависимостей действительной и мнимой частей диэлектрической проницаемости дает информацию о характерных временах процессов переноса заряда в веществе и типе носителей заряда.

В качестве образца для исследований использовалась поликристаллическая алмазная пленка. Пленка была выращена на кремниевой подложке с использованием активации водород-метановой газовой смеси СВЧ разрядом. Концентрация метана в газовой смеси составляла около 1%, температура подложки в процессе осаждения поддерживалась на уровне 850°С. Время непрерывного процесса осаждения составило 180 ч, в результате чего была получена пленка толщиной 200 мкм.

После осаждения алмазной пленки кремниевая подложка была полностью стравлена в смеси плавиковой и азотной кислот. Нижняя поверхность полученной свободной пленки гладкая и повторяет структуру поверхности полированной подложки. Верхняя поверхность пленки образована гранями алмазных кристаллитов, составляющих пленку, в связи с чем она имеет шероховатость порядка 5 мкм. Наиболее крупные кристаллиты имеют неправильную пирамидальную форму, типичную для направленного роста поликристаллических пленок. Основания кристаллитов, образующие верхнюю поверхность пленки, имеют линейные размеры порядка 5 мкм. Типичное изображение поверхности пленки, полученное с помощью оптического микроскопа, представлено на рис. 1.

Для определения фазового состава проводился анализ пленки с помощью метода комбинационного рассеяния света (КРС). В силу высокой прозрачности образца спектры КРС были аналогичны для обеих поверхностей пленки. На рис. 2 представлен полученный спектр КРС, в котором присутствует интенсивная узкая линия на частоте около  $1330 \text{ см}^{-1}$ , соответствующая хорошо кристаллизованному алмазу. Широкая полоса в области  $1580 \text{ см}^{-1}$  свидетельствует о наличии незначительного количества неалмазного (т. е. графитоподобного углерода).

Для проведения измерений с помощью анализатора импеданса образец пленки площадью порядка  $1 \text{ см}^2$  был очищен в ультразвуковой ванночке с изопропиловым спиртом и покрыт серебряной пастой с обеих сторон.

## 2. Результаты и обсуждение

Использованный в работе анализатор импеданса позволял проводить непосредственные измерения величины мнимой части диэлектрической проницаемости. Резуль-

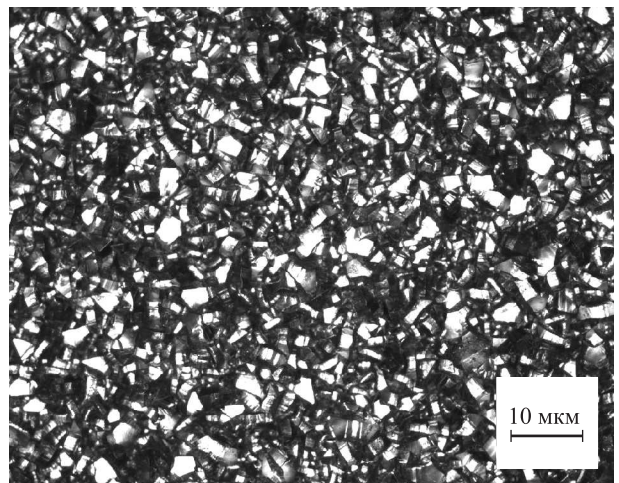


Рис. 1. Микроскопическое изображение верхней поверхности изучаемой поликристаллической алмазной пленки

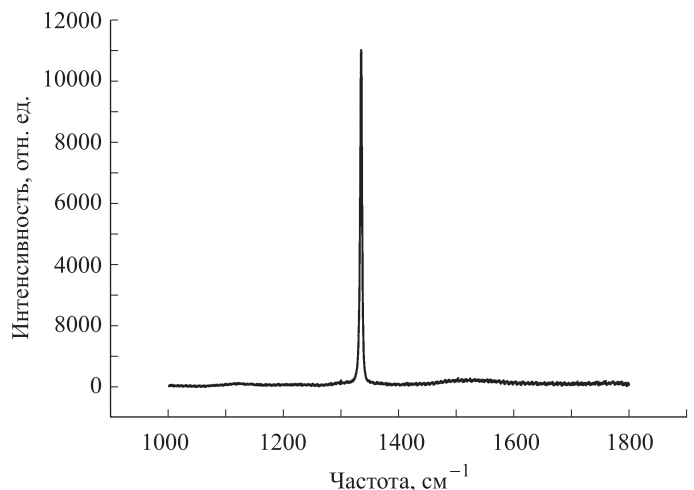


Рис. 2. Спектр КРС изучаемой поликристаллической алмазной пленки. Длина волны возбуждающего излучения  $\lambda = 514.5 \text{ нм}$

таты измерений, проводившихся при различных температурах и частотах, представлены на диаграмме, изображенной на рис. 3. При каждой температуре частотная зависимость мнимой части диэлектрической проницаемости была аппроксимирована суммой двух членов вида Гаврильяка–Негами (см., напр., [15]) с учетом проводимости при постоянном напряжении. Характерной чертой полученных частотных зависимостей  $\epsilon''(\omega)$  является наличие двух максимумов. Такие зависимости могут свидетельствовать о наличии двух механизмов проводимости в материале: низкочастотном ( $10^1$ – $10^2$  Гц) и высокочастотном ( $10^4$ – $10^5$  Гц). Положения максимумов отвечают характерным временам процессов переноса заряда.

Тот факт, что положения пиков в зависимости  $\epsilon''(\omega)$  изменяются с температурой, говорит о том, что процессы переноса заряда являются термоактивируемыми. Такие процессы удобно анализировать с помощью диаграммы Аррениуса для частоты, соответствующей максимуму. Если процесс подчиняется закону Аррениуса ( $\omega_{\max} \sim \exp(\epsilon_a/(kT))$ ), то на диаграмме экспериментальные точки должны лежать на прямой с отрицательным

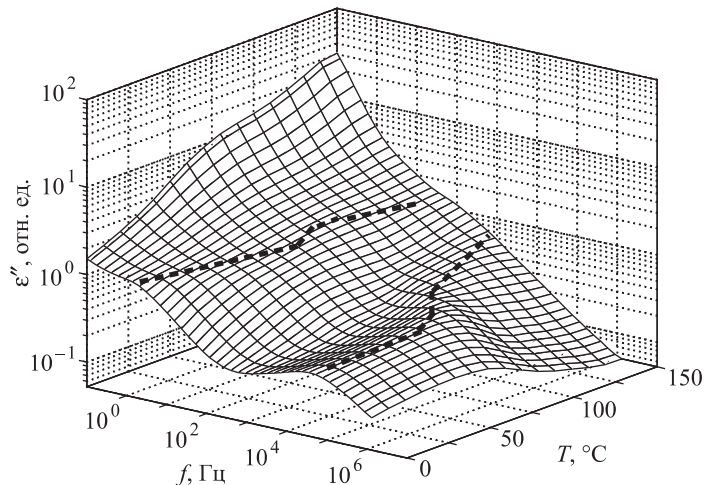


Рис. 3. Трехмерная диаграмма зависимости мнимой части диэлектрической проницаемости от частоты и температуры. Пунктиром обозначены пути смещения пиков частотной зависимости при изменении температуры

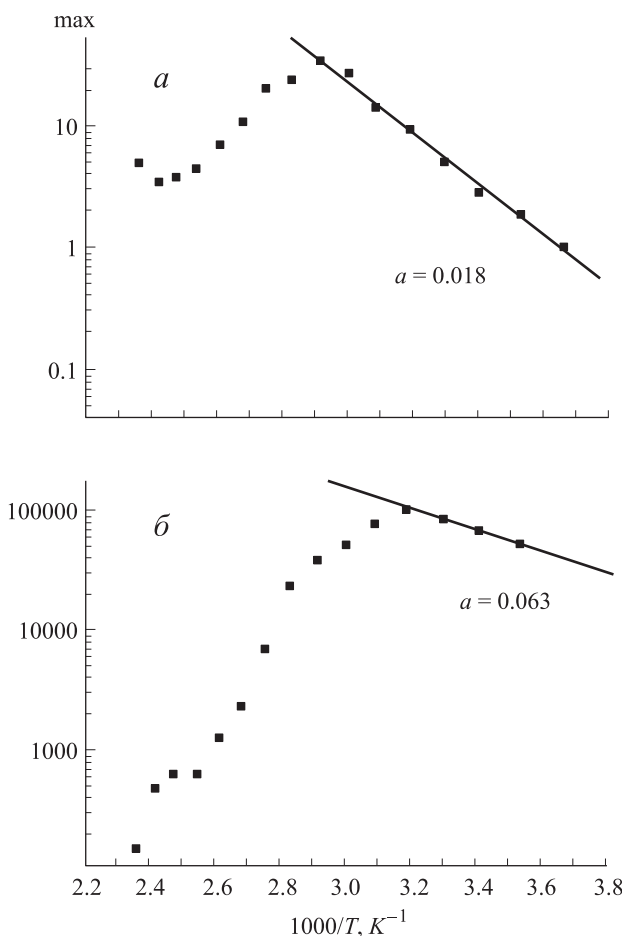


Рис. 4. Диаграммы Аррениуса для температурной зависимости частоты максимального поглощения для механизмов низкочастотной (а) и высокочастотной (б) проводимости

наклоном, модуль величины которого равен энергии активации процесса. На рис. 4 представлены диаграммы Аррениуса для обоих максимумов, отмечаемых в частотных зависимостях. Видно, что в обоих случаях процесс

переноса заряда подчиняется закону Аррениуса в области температур до 320 К. В этой области энергии активации процессов равны 0.063 эВ для высокочастотной и 0.18 эВ для низкочастотной проводимости. Наблюдаемое в остальном диапазоне температур падение частоты максимумов в зависимости  $\epsilon''(\omega)$  с ростом температуры является нетривиальным.

Для определения возможных причин такого поведения дополнительно проводился анализ изменения проводимости алмазной пленки при различных частотах и температурах. Результаты этого анализа представлены в диаграмме, показанной на рис. 5. Общий вид изотермических сечений поверхности  $\sigma(\omega, T)$  описывается линейной функцией с коэффициентом наклона  $\sim 0.8$ . Зависимость типа  $\sigma \sim \omega^{0.8}$  является свидетельством прыжковой проводимости [14]. Анализ кривых, полученных при различных температурах, позволяет предположить неслучайный характер отклонений от линейной зависимости и сделать вывод о смене доминирующего механизма проводимости в диапазоне частот  $10^2 - 10^4$  Гц.

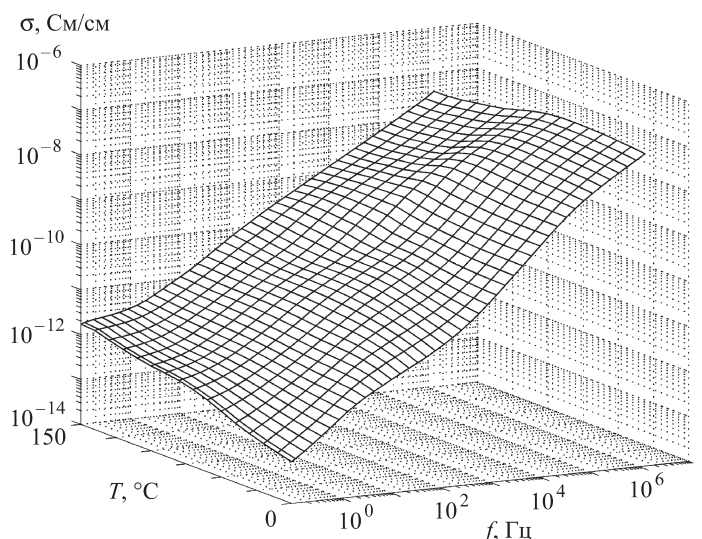


Рис. 5. Трехмерная диаграмма зависимости проводимости от частоты и температуры

По совокупности описанных выше данных можно сделать вывод о том, что механизмом проводимости при низких частотах является прыжковая проводимость по границам зерен. Ряд исследователей указывает на то, что энергия активации этого процесса составляет  $0.3 \pm 0.1$  эВ (см., напр., [16]), что совпадает с полученными нами значениями в пределах погрешности измерений.

Механизм проводимости, реализующийся при высоких частотах, также может быть объяснен прыжковым переносом носителей заряда. Значения проводимости и диэлектрической проницаемости при активации этого механизма, а также характерное время процессов релаксации указывают на то, что этот процесс протекает внутри алмазных кристаллитов [17]. Энергия активации этого процесса соответствует мелким примесным уровням, формируемым в энергетической структуре кристаллита при внедрении в алмазную решетку атомов азота [17]. Описанные механизмы проводимости характерны для ПАП толщиной до  $10^2$  мкм [16].

Следует отметить, что на поверхности  $\sigma(f, T)$  наблюдается перегиб в области высоких частот при температуре порядка 320 К, что совпадает с точкой изменения

хода кривых на диаграмме Аррениуса. В работе [18] аномалии в кривых проводимости при температурах, близких к комнатным, связывают с влиянием области контакта.

### Заключение

В ходе работы был измерен импеданс образца поликристаллической алмазной пленки при температурах 273–423 К и частотах  $10^{-1}$ – $10^7$  Гц. Были выявлены два механизма проводимости пленки с характерными временами релаксации порядка  $10^{-1}$  и  $10^{-4}$  с. На основании анализа экспериментальных данных сделан вывод о том, что оба механизма проводимости являются прыжковыми. При этом за низкие времена релаксации ответственны границы зерен, тогда как за высокие — алмазные кристаллиты. Возможность прыжковой проводимости обеспечивается разупорядоченностью углеродного материала в области границ зерен и примесными уровнями, формируемыми внедренными атомами азота, в области кристаллитов.

Полученные результаты свидетельствуют о возможности выращивания механически стабильных алмазных пленок толщиной до 200 мкм и имеющими свойства, аналогичные ПАП с меньшей толщиной.

### Список литературы

1. Wort C.J.H., Balmer R.S. // Materials Today. 2008. **11**. P. 22.
2. Spitsyn B.V., Bouilov L.L., Alexenko A.E. // Diamond and Related Materials. 1999. **8**. P. 1371.

3. Образцов А.Н., Изуми Т., Окуши Х. и др. // Вестн. Моск. ун-та. Физ. Астрон. 1997. № 3. С. 45.
4. Conte G., Rossi M.C., Salvatori S., Vitale G. // Diamond and Related Materials. 2004. **13**. P. 891.
5. Conte G., Rossi M.C., Salvatori S. et al. // Diamond and Related Materials. 2004. **13**. P. 277.
6. Girija K.G., Betty C.A. // Diamond and Related Materials. 2004. **13**. P. 1812.
7. Conte G., Rossi M.C., Salvatori S. et al. // J. Appl. Phys. 2003. **93**. P. 6087.
8. Fiegl B., Kuhnert R., Ben-Chorin M., Koch F. // Appl. Phys. Letters. 1994, **65**, N 3. P. 371
9. Sugino T., Muto Y., Karasutani K. et al. // Diamond and Related Materials. 1993. **2**. P. 803.
10. Nath S., Wilson J.I.B. // Diamond and Related Materials. 1996. **5**. P. 65.
11. Bataineh M.M., Reinhard D.K. // Diamond and Related Materials. 1997. **6**. P. 1689.
12. Ye H., Hing P. // Int. J. Thermophys. 2001. **22**, N 4. P. 1285.
13. Spaziani F., Rossi M.C., Salvatori S., Conte G. // Diamond and Related Materials. 2004. **13**. P. 814.
14. Момм Н., Дэвис Э. Электронные процессы в некристаллических веществах. М., 1982.
15. Усманов С.М. Релаксационная поляризация диэлектриков. Расчет спектров времен диэлектрической релаксации. М., 1996.
16. Conte G., Rossi M.C., Spaziani F., Arcangeli R. // Diamond and Related Materials. 2005. **14**. P. 570.
17. Curat S., Ye H., Gaudin O. et al. // J. Appl. Phys. 2005. **98**. P. 073701.
18. Polyakov V.I., Rukovishnikov A.I., Rossukanyi N.M. et al. // Diamond and Related Materials. 2003. **12**. P. 1776.

### Hopping conductivity in polycrystalline diamond film

**P. G. Kopylov, A. M. Lotonov<sup>a</sup>, I. A. Apolonskaya, A. N. Obraztsov**

*Department of Polymer and Crystal Physics, Faculty of Physics, M. V. Lomonosov Moscow State University, Moscow 119991, Russia.*

*E-mail:* <sup>a</sup> lotonov@polly.phys.msu.ru.

Results of experimental study of polycrystalline diamond film (grown in CVD process with the growing time of about 180 h, film thickness is about 200  $\mu\text{m}$ ) using dielectric spectroscopy are presented. Two pronounced peaks in the frequency dependence of conductivity were observed. Their frequencies were found to be dependent on temperature. Observed data allow to make a suggestion about hopping mechanism of conductivity in diamond polycrystalline film, which involves two types of electrically active centers with different activation energies and relaxation time.

PACS: 73.50.Gr.

Keywords: Polycrystalline diamond, chemical vapor deposition, dielectric spectroscopy.

Received 19 March 2008.

English version: *Moscow University Physics Bulletin* 2(2009).

### Сведения об авторах

1. Копылов Петр Геннадьевич — аспирант; тел.: 939-41-26, e-mail: kopylov@polly.phys.msu.ru.
2. Лотонов Александр Михайлович — к. ф.-м. н., ст. научн. сотр.; тел.: 939-44-08, e-mail: lotonov@polly.phys.msu.ru.
3. Аполлонская Ирина Александровна — студентка; тел.: 939-41-26, e-mail: apolonskaya@polly.phys.msu.ru.
4. Образцов Александр Николаевич — д. ф.-м. н., профессор; тел.: 939-41-26, e-mail: obraz@polly.phys.msu.ru.